

بررسی برخی از ویژگی‌های فیزیکی و شیمیایی به همراه میکرومورفولوژی خاک‌های با منشأ آهک و گچ بر روی واحدهای مختلف زمین‌نما^۱

(مطالعه موردی: استان لرستان، الشتر)

کلثوم رحمان سالاری^۱، محمد امیر دلاور^۲، مهرداد اسفندیاری^{۳*} و ابراهیم پذیر^۴

- (۱) دانشجوی دکتری پیدایش و رده‌بندی خاک، دانشکده کشاورزی و منابع طبیعی، واحد علوم و تحقیقات، دانشگاه آزاد اسلامی، تهران، ایران.
(۲) دانشیار، گروه علوم و مهندسی خاک، دانشکده کشاورزی، دانشگاه زنجان، زنجان، ایران.
(۳) استاد گروه حاکشناسی، دانشکده کشاورزی و منابع طبیعی، واحد علوم و تحقیقات، دانشگاه آزاد اسلامی، تهران، ایران.
(۴) استاد گروه حاکشناسی، دانشکده کشاورزی و منابع طبیعی، واحد علوم و تحقیقات، دانشگاه آزاد اسلامی، تهران، ایران.
* ایمیل نویسنده مسئول: mehrdadesfandiari8@gmail.com



شایپا چاپی: ۲۲۵۱-۷۴۸۰
شایپا الکترونیکی: ۲۲۵۰-۷۴۰۰

نشریه حفاظت منابع آب و خاک

آدرس تارنما:
<https://wsrjc.srbiau.ac.ir>

پست الکترونیک:
iauwsrjc@srbiau.ac.ir
iauwsrjc@gmail.com

سال یازدهم
شماره چهار
تابستان ۱۴۰۱

تاریخ دریافت:
۱۴۰۰/۰۳/۲۴

تاریخ پذیرش:
۱۴۰۰/۰۸/۰۳

صفحات: ۱-۱۴



^۱ برگرفته از رساله دکتری

مقدمه

ظرفیت نگهداشت آب قابل استفاده Maniyunda and Gwari, 2014; Shiau et al., 2018 (and Gwari, 2014) از قسمت بالای شیب به سمت پایین شیب افزایش می‌یابد. علاوه بر این در پژوهش‌های دیگر همبستگی بین ویژگی‌های قسمت‌های مختلف شیب و اغلب پارامترهای شیمیایی خاک مانند pH خاک Maniyunda and Gwari, 2014; Imadojemo et al., (Etedali Dehkordi et al., 2017) کربن آلی خاک (2017). گزارش شده است. یکی از روش‌های مهم و حتی شاید ضروری در مطالعه خاک‌های مناطق خشک و نیمه‌خشک مطالعات میکرومورفولوژی می‌باشد. علاوه بر خصوصیات ظاهری، بسیاری از پدیده‌ها و فرآیندهای تشکیل خاک در اندازه درشت دارای وضوح کافی نبوده و از این رو میکرومورفولوژی مطمئن‌ترین روش برای تشخیص فرآیندهای پیچیده در خاک است (Khormali and Abtahi, 2003). در تحقیقی کمپ^۱ و همکاران (۲۰۰۳). با بررسی میکرومورفولوژیک توالی لس-پالتوسول در آرژانتین، پراکنش عمقی میکروساختمان، پوشش‌های رسی و کربنات‌های ثانویه را سه نوع از مهم‌ترین ویژگی‌های میکرومورفولوژیک بیان نمودند. باهورزه‌ی و همکاران (۱۳۹۵) در منطقه کوه بیرک شهرستان مهرستان در استان سیستان و بلوچستان چگونگی تشکیل و تکامل خاک را در سطوح مختلف ژئومورفیک بررسی کردند. بررسی‌های میکرومورفولوژی نشان دهنده وجود پوشش رس و پوشش^۲ و پرشدگی آهک^۳ در سطح پدیمنت سنگی، پرشدگی آهک در سطح مخروطه افکنه و صفحات درهم قفل شده^۴ گچ در سطح پدیمنت پوشیده و تراس بالایی در منطقه بود. نتایج پژوهش آن‌ها نمایانگر نقش مهم زمین نما در تغییرپذیری ویژگی‌های خاک‌های منطقه مورد بررسی است. در تحقیقی اوولیئی^۵ و همکاران (۲۰۱۸) در بررسی

در زندگی برخاسته از خاک، اندیشیدیدن به جهانی بدون خاک ناشدنی است. زیرا گیاهان، جانوران و همه انسان‌ها را نیستی می‌کشاند. احتیاجات بشر با تمام تنوع و گوناگونی‌هایش همه از خاک تأمین می‌شود. استفاده مطلوب و پایدار از خاک در شرایطی امکان‌پذیر خواهد بود که آشنایی کامل و شناخت صحیح از ویژگی‌های آن وجود داشته باشد (Nazari, 2003). خاک حاصل اثر متقابل پنج عامل خاک‌ساز یعنی سنگ مادر، اقلیم، موجودات زنده، توپوگرافی و زمان می‌باشد (Jafari and Sarmadian, 2005). خاک و سطوح ژئومورفیک اثر متقابل بر هم دارند بدین معنی که نه تنها سطوح ژئومورفیک به درک فرآیندهای خاک‌سازی کمک می‌کند بلکه خاک‌شناسی نیز در بررسی فرآیندهای تکامل اشکال اراضی مهم است. خاک به موقعیت سطوح ژئومورفیک بسیار مرتبط می‌باشد و اگر در بررسی‌های تشکیل و طبقه‌بندی خاک مفاهیم ژئومورفولوژی لحاظ شود فرآیندهای تشکیل خاک بهتر درک می‌شوند (Graham and Boul, 1990). سطوح ژئومورفیک بخشی از زمین‌نما هستند که به صورت اختصاصی در مکان و زمان با مراتب‌های جغرافیایی مشخص تعریف شده‌اند (Gouid, 2004) که دارای انواعی نظری پدیمنت سنگی، مخروطه افکنه، تراس بالایی و ... می‌باشد. توپوگرافی و پستی بلندی یکی از مهم‌ترین عوامل خاک-ساز می‌باشد که به علت تأثیر بر روابط رطوبتی خاک، شدت جابجایی مواد در اثر شیب، تغذیه گیاهان و پوشش گیاهی، ارتفاع و وضعیت شیب نسبت به نور آفتاب، اختلاف مواد معدنی، عمق آب زیرزمینی، شرایط جریان آب سطحی، توزیع کانی‌های رسی و عناصر غذایی بر پیشرفت خاک‌سازی و تغییرات در خاک و ضخامت آن اثر می‌گذارد (Jafari and Nadian, 2014). پژوهش‌های گسترده‌ای اثرات توپوگرافی بر بسیاری از ویژگی‌های مورفولوژی، فیزیکی و شیمیایی خاک‌ها را نشان داده‌اند. بر اساس نتایج موجود، ویژگی‌های فیزیکی خاک مانند توزیع رس با عمق و همچنین مقدار شن (Maniyunda

¹ Kemp² Coatings³ Infilling Coatings⁴ Interlocked⁵ Owliaie

و ۵۵ دقیقه عرض شمالی قرار گرفته است. میانگین ارتفاع منطقه از سطح دریا ۱۶۰۰ متر است. بر اساس داده‌های هواشناسی ۳۰ ساله (۱۹۸۵-۲۰۱۵) ایستگاه هواشناسی الشتر، میانگین بارندگی و درجه حرارت سالانه این منطقه به ترتیب ۴۸۳ میلی‌متر و ۱۲/۹ درجه سانتی گراد می‌باشد و بر اساس محاسبات برنامه کامپیوتربی نیوهال، رژیم‌های رطوبتی و حرارتی این منطقه به ترتیب زیریک خشک و مزیک می‌باشد (Van Wambek, 2000). از نظر تقسیمات زمین‌شناسی ایران، منطقه مطالعه‌ی بر روی رسوبات واقع شده است. این تشکیلات رسوی متشكل از سنگ آهک‌های مارنی دوران پیوسن و سنگ آهک‌های مارنی حاکستری دوران میوسن می‌باشد که دارای تشکیلات حاوی ترکیبات گچ هستند (سایت زمین‌شناسی ایران، ۱۳۹۱). شکل ۱-۱ موقعیت منطقه مورد مطالعه را در کشور و استان در طول یک ترانسکت نشان می‌دهد.

در این تحقیق، با استفاده از نقشه‌های توپوگرافی و عکس هوایی منطقه مورد مطالعه که بر روی یک لندسکیپ قرار گرفته، انتخاب شد. پنج خاکرخ که بیانگر تنوع مواد مادری و توپوگرافی در منطقه بود، مشخص و در سطوح ژئومورفیک مختلف یک خاکرخ شاهد حفر شد. خاکرخ یک و سه در فلات با مواد مادری آهکی و گچی، خاکرخ دو در فن‌های واریزهای شکل و خاکرخ چهار و پنج در قسمت بالایی و پایینی دشت دامنه‌ای حفر شدند. با توجه به ویژگی‌های مورفولوژیکی و چگونگی قرار گرفتن افق‌های ژنتیکی و همچنین ویژگی‌های فیزیکوشیمیایی و تعاریف موجود در سامانه آمریکایی رده‌بندی خاک‌ها، افق‌های مشخصه سطحی و زیرسطحی تعیین شدند. در نهایت خاکرخ‌های مورد نظر پس از حفر بر اساس مشاهدات ثبت شده در برگه‌های تشریح استاندارد (Soil Survey Staff, 2014) و نتایج آزمایشگاهی، طبق کلید تاکسونومی خاک (Soil Survey Staff, 2014) تا سطح زیر گروه و سیستم طبقه‌بندی (WRB, 2015) تا سطح دوم نام‌گذاری شدند.

میکرومورفولوژی خاک‌های منطقه نیمه‌خشک دهدشت و چرام در جنوب غربی ایران، پوشش و پرشدگی حفرات از بلورهای گچ و آهک و همچنین وجود نودول‌های اکسید آهن و منگنز را عوارض خاک‌ساخت غالب دیده شده در این خاک‌ها مشاهده کردند. اعتدالی دهکردن و همکاران (۱۳۹۷) در منطقه چلگر چهارمحال بختیاری تجمع آهک را به شکل‌های گوناگون از جمله پوشش، پرشدگی، آهک سوزنی^۱ و نودول آهکی^۲ مشاهده کردند که بیانگر ثانویه بودن آهک است. کریمی دهکردن و همکاران (۱۳۹۳) در بررسی میکرومورفولوژی خاک‌های لردگان استان چهارمحال بختیاری به این نتیجه رسیدند که حفرات صفحه‌ای،^۳ و گها^۴ و حفرات به هم مرتبط^۵ بیشترین حفرات این خاک‌ها را تشکیل داده بودند. بی‌فابریک و ریز ساختمان دیده شده در همه افق‌ها به ترتیب از نوع کریستالیک و مکعبی بدون زاویه بود و در همه افق‌ها به جز افق مربوط به شانه شب و شب پشتی با کاربری دیم پوشش رسی و آهکی دیده شد. بنابراین از آنجایی که اطلاعات بسیار کمی در خصوص نحوه تشکیل، طبقه‌بندی و ویژگی‌های خاک‌های آهکی و گچی در منطقه غرب ایران وجود دارد. این پژوهش برای دستیابی به اهداف زیر انجام شد: ۱- بررسی ویژگی‌های فیزیکوشیمیایی خاک‌های مورد مطالعه ۲- مطالعه ویژگی‌های میکرومورفولوژیک برای تشریح دقیق‌تر فرآیندهای پدوژنیک^۶-۳ بررسی اثر سطوح مختلف ژئومورفیک بر ویژگی‌های رده‌بندی خاک‌ها در امتداد یک ردیف پستی و بلندی در منطقه نیمه‌خشک الشتر استان لرستان.

مواد و روش‌ها

منطقه مورد مطالعه در غرب کشور در ۳۵ کیلومتری شهرستان خرم‌آباد بین ۴۸ درجه و ۵ دقیقه تا ۴۸ درجه و ۲۰ دقیقه طول شرقی و ۳۳ درجه و ۵۰ دقیقه تا ۳۳ درجه

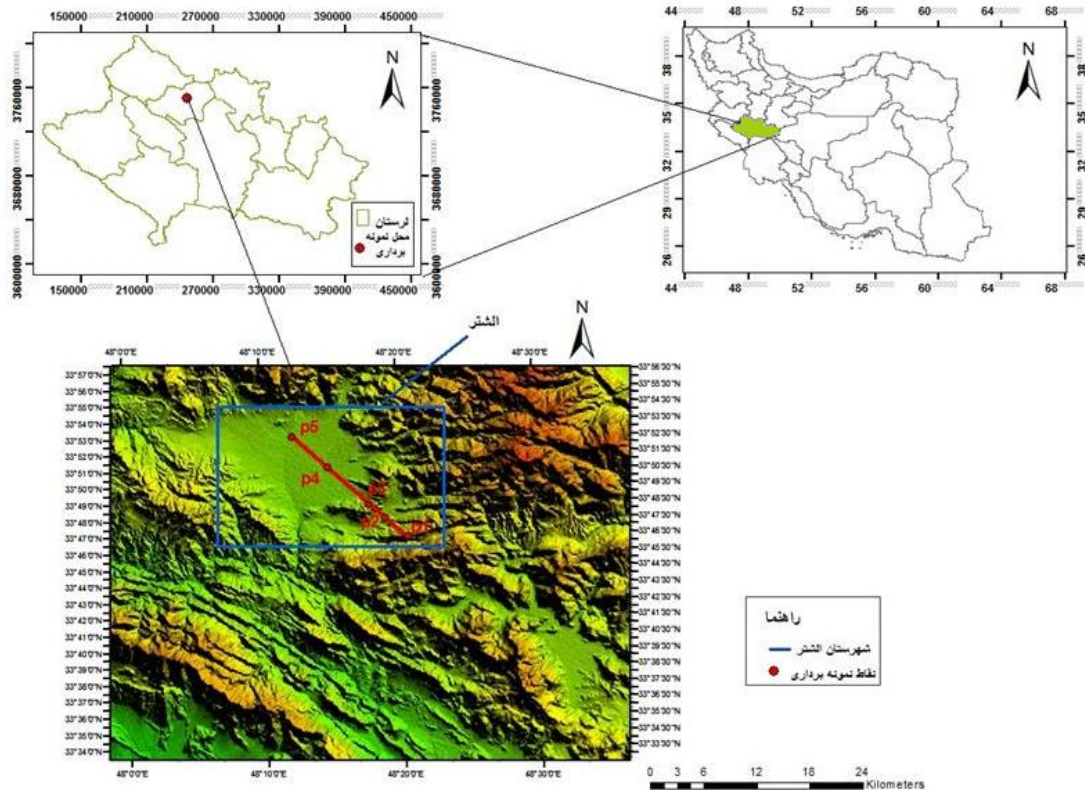
¹ NeedlsShaped Calcite

² Noduels Calcite

³ Plane

⁴ Vugh

⁵ packing Voids



شکل ۱. موقعیت خاک‌های مشاهداتی در منطقه مورد مطالعه، استان و کشور

مطالعات میکرومورفولوژی

برای بررسی‌های میکرومورفولوژی، از نمونه‌های دست نخورده خاک استفاده شد. پس از هوا خشک شدن، تلقیح نمونه‌ها توسط رزین پلی استر انجام شد. پیش از تلقیح ۵ قطره سخت کننده اسید استاریک و حدود سه قطره کبالت به عنوان کاتالیست اضافه شد. نمونه‌ها پس از گذشت تقریباً دو هفته سخت شدند و توسط دستگاه برش، بریده شدند. سپس با پودرهای کاربراندوم ضخامت نمونه‌ها به حدود ۳۰ میکرون رسانده شدند. این ضخامت با کمک میکروسکوپ پلاریزان در دو حالت نور پلاریزه صفحه‌ای (PPL) و متقاطع (XPL) مورد مطالعه قرار گرفت. تشریح و تفسیر مقاطع نازک بر اساس تعاریف و واژه‌های استوپس (Stoops, 2003) انجام گرفت. برای مشاهدات میکروسکوپ الکترونی روبشی نمونه‌های دست نخورده‌ی کوچک را بر روی پایه‌های آلومینیومی چسبانده و پس از پوشش نازک با طلا با استفاده از میکروسکوپ الکترونی روبشی مدل Jeol 6400 عکس‌برداری شدند.

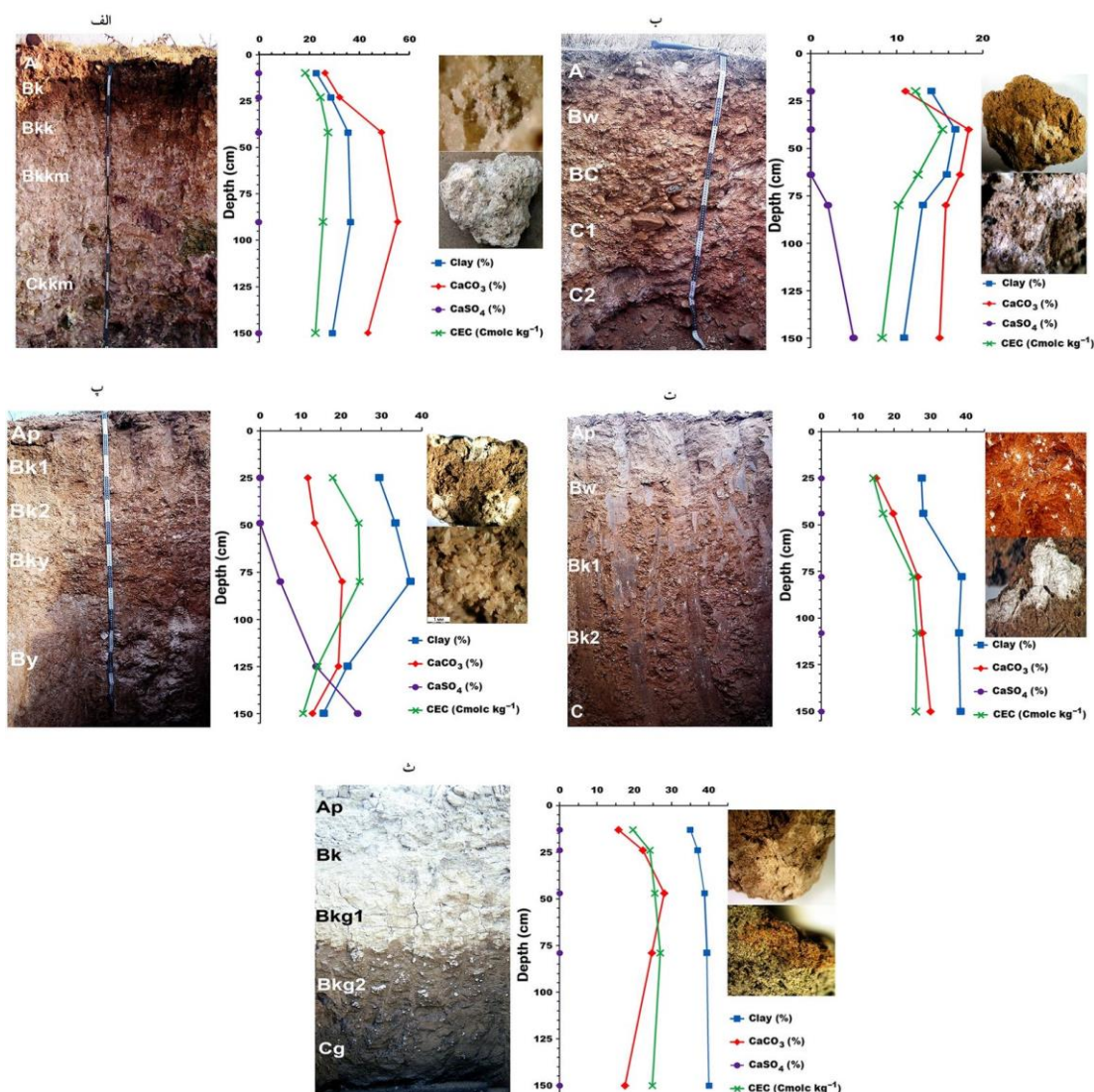
تجزیه و تحلیل آزمایشگاهی

در این بررسی پس از نمونه‌برداری و انتقال نمونه‌ها به آزمایشگاه، در مجموع تعداد ۳۵ نمونه خاک از افق‌های ژنتیکی مختلف جمع‌آوری و پس از هوا خشک شدن و عبور از الک ۲ میلی‌متری، آزمایش‌های فیزیکی و شیمیایی لازم مانند توزیع اندازه ذرات خاک با روش هیدرومتر (Gee and Bauder, 1986)، پاج خاک در خمیر اشیاع با دستگاه pH سنج و قابلیت هدایت الکتریکی در عصاره گل اشیاع با دستگاه هدایت سنج الکتریکی مدل جن وی، کربنات کلسیم معادل با روش تیتراسیون برگشتی (Nelson, 1982)، گچ با روش ترسیب با استون (Nelson, 1982)، ظرفیت تبادل کاتیونی خاک با روش جایگزینی کاتیون‌ها با استات سدیم نرمال در پاج ۸/۲ (Chapman, 1965) و میزان کربن آلی با روش اکسیداسیون تر (Walkley and Black, 1934) اندازه‌گیری شدند.

C₂ (خاکرخ دوم)، ۰/۱۳ درصد دیده شد؛ که می‌توان دلیل آن را وجود ریشه و بقایای گیاهی در افق‌های سطحی در آن‌ها بیان نمود. نتیجه مشابهی به وسیله دیگر پژوهش‌گران گزارش شده است (اعتداالی دهکردی و همکاران، ۱۳۹۷). قابلیت هدایت الکتریکی (EC) خاک کم بوده و در خاک‌های دارای افق جیپسیک (خاکرخ دو و سه) مقادیر قابلیت هدایت الکتریکی با عمق افزایش یافته است. پ. اچ خاک بین ۷/۷-۸/۰ متغیر بوده و در تعادل با مقادیر کربنات کلسیم معادل در خاک است. همان‌طور که جدول ۱ آمده است بافت خاک از لوم شنی (خاکرخ دو) به لوم رسی (خاکرخ یک، سه، چهار و پنج) متغیر بوده است.

نتایج و بحث

نتایج ویژگی‌های فیزیکو‌شیمیایی خاک‌های منطقه مورد مطالعه
 نتایج برخی از ویژگی‌های فیزیکی، شیمیایی و طبقه-بندي خاک‌رخ‌های مورد مطالعه در دو سیستم رده‌بندی تاکسونومی و WRB در سطوح مختلف ژئومورفولوژیک در جدول (۱) ارائه شده است. یکی از مهم‌ترین فاکتورهای کیفیت خاک اندازه‌ی کربن آلی خاک است. تفاوت در مقدار کربن آلی می‌تواند در گردش عناصر غذایی تأثیر مهمی داشته باشد. نتایج نشان داد در همه‌ی خاک‌رخ‌های مورد مطالعه مقدار کربن آلی خاک از سطح به عمق کاهش یافته و بیش‌ترین مقدار آن در افق Ap (خاکرخ چهار) ۱/۳۶ درصد و کم‌ترین مقدار آن در افق



شکل ۲. روند تغییرات عمقی مقادیر رس، کربنات کلسیم معادل، گچ و ظرفیت تبادل کاتیونی در خاک‌رخ‌های مورد مطالعه. (الف) خاکرخ یک (فلات آهکی)، (ب) خاکرخ دو (فن واریزه‌ای)، (پ) خاکرخ چهار (فلات گچی)، (ت) خاکرخ سه (دشت دامنه‌ای)، (ث) خاکرخ پنج (دشت دامنه‌ای)

شد (شکل ۲-پ). مقدار گچ ثانویه با مقادیر بسیار کم دو تا پنج درصد در خاکرخ دو دیده شد. در خاکرخ سه میزان گچ خاک با عمق روند افزایشی نشان داد، به طوری که بیشترین مقدار تجمع گچ در اعماق ۱۲۵ تا ۱۵۰ سانتی متر، ۲۴/۲ درصد در افق Bky خاکرخ سه دیده شد و در اعماق سطحی مقادیر آن بسیار ناچیز بود. به طورکلی، چهار منشأ عمده برای حضور گچ در خاک وجود دارد. منبع اصلی برای تشکیل گچ در خاک، کلسیم و سولفات می باشد. تشکیل گچ در خاکها به فاکتورهای زیادی مانند اختلاف بارش و تبخیر سالانه، وجود منابع گچ در مواد مادری، تخلخل خاک، نوسانات تراز آب زیرزمینی وابسته است (Buck and Van Hosen, 2002). پاشایی و منافی (Buck and Van Hosen, 2002) در پژوهشی بیان نمودند که منشأ خاکساز، گچ (۱۳۹۵) می تواند در نتیجه فراهم بودن شرایط محیطی مانند تبخیر از دریاچه ها، تبلور کانی های تبخیری به ویژه گچ در اثر تبخیر آب سواحل دریاچه ها رخ داده باشد.

ظرفیت تبادل کاتیونی خاکها از ۱۰/۶ تا ۲۷/۵ سانتی مول بار بر کیلوگرم خاک متغیر بود. پیش بینی می شود، مقادیر زیاد رس منجر به افزایش مقادیر CEC شده است. مقادیر کربنات کلسیم معادل خاکهای مورد بررسی متغیر بوده و در محدوده بسیار آهکی (بالاتر از ۵۶ درصد) در افق Bkk خاکرخ یک تا کمی آهکی (کمتر از ۱۱ درصد) (Soil Survey Staff, 2014) در خاکرخ دو بود (شکل ۲-الف-ب).

از مهم ترین ویژگی های پدوژنیک در خاکرخ های مورد مطالعه انتقال و آبشویی کربنات ها (شکل ۲-الف، ب)، گچ (شکل ۲-پ) و ویژگی های ردوکسی مورفیک (شکل ۲-ث) بودند. رسوب کربنات کلسیم در مقادیر مختلف از جمله از مقادیر کم در افق کمیک (خاکرخ دو)، متوسط تا زیاد در افق پتروکلسیک (خاکرخ یک) دیده پنج) و بسیار زیاد در افق پتروکلسیک (خاکرخ یک) دیده شد (شکل ۲ الف تا ث). در منطقه مورد مطالعه در بعضی از قسمت ها گچ ثانویه در خاک (خاکرخ دو و سه) دیده

جدول ۱. برخی از ویژگی های فیزیکی و شیمیایی در خاکرخ های مورد مطالعه

افق	عمق (cm)	تجمعات*	رس سیلت شن	درصد ذرات ساختمان*	سنگریزه (%)	کلاس بافت	کربن آلی (OC) (%)	واکنش خاک (pH)	قابلیت هدایت الکتریکی (EC) dS m ⁻¹	ظرفیت تبادل کاتیونی (CEC) cmol(+)/kg	کربنات کلسیم معادل (CCE) CaSO ₄ 2H ₂ O (%)	خاکرخ شماره ۱: شب -۰/۸۰-۰/۵۰	
												USDA: Calcic Haploixerpts, WRB: Calcaric Cambisols -۰/۰-۰/۸۰	USDA: Gypsic Calcixerpts, WRB: Calcaric Gypsisols -۰/۰-۰/۸۰
-	۲۶/۴	۱۸/۴	۱/۳۰	۷/۷	۰/۹۹	L	۴۱	۳۶/۲	۲۲/۸	1fgr	1c can	۰-۱۰	Ap
-	۳۲/۲	۲۴/۴	۱/۱۰	۷/۸	۰/۷۵	CL	۳۶	۳۵/۲	۲۸/۸	2msbk	2m CAN	۱۰-۲۳	Bk
-	۴۹/۹	۲۷/۵	۰/۳۱	۸/۴	۰/۴۰	CL	۲۷/۲	۳۷/۲	۳۵/۶	2msbk	3m CAN	۲۳-۴۲	Bkk
-	۵۶/۴	۲۵/۶	۰/۲۸	۸/۴	۰/۳۳	CL	۲۰/۲	۴۳/۲	۳۶/۶	Massive	3m CAN	۴۲-۹۰	Bkkm
-	۵۰/۵	۸/۸	۰/۳۲	۸/۴	۰/۲۴	CL	۳۱/۶	۳۹	۲۹/۴	Massive	3m CAN	۹۰-۱۵۰	Ckkm
خاکرخ شماره ۲: شب -۰/۸۰-۰/۵۰													
-	۱۱	۱۴/۰	۱/۳۵	۷/۸	۰/۹۵	SL	۵۳/۴	۳۲/۶	۱۴/۰	1fgr	-	۰-۲۵	Ap
-	۱۸/۴	۱۶/۸	۰/۰۴	۷/۹	۰/۴۹	SL	۵۶/۶	۲۶/۶	۱۶/۸	1fsbk	1f CASP	۲۵-۴۲	Bw
-	۱۷/۴	۱۵/۸	۰/۶۳	۸/۱	۰/۲۵	SL	۵۴/۲	۳۰/۰	۱۵/۸	1fsbk	1f CASP	۴۲-۶۴	Crk
۲	۱۵/۷	۱۳/۰	۰/۶۵	۸/۱	۰/۱۸	SL	۶۳/۰	۲۴/۰	۱۳/۰	Massive	1f M,Cry-Gy	۶۴-۸۰	C1
۵	۱۵	۱۰/۸	۰/۸۲	۷/۹	۰/۱۳	SL	۵۷/۲	۳۲/۰	۱۰/۸	Massive	2CM, Cry-Gy	۸۰-۱۵۰	C2
خاکرخ شماره ۳: شب -۰/۸۰-۰/۵۰													
-	۱۱/۸	۱۸/۰	۱/۷۲	۷/۹	۰/۷۱	CL	۳۴/۶	۳۶/۰	۲۹/۴	1fgr	-	۰-۲۵	Ap
-	۱۳/۵	۲۴/۴	۱/۱۵	۷/۹	۰/۷۲	CL	۳۶/۰	۳۶/۶	۳۴/۴	1fsbk	1,2c M	۲۵-۴۹	Bk1
۵	۲۰/۳	۲۴/۶	۱/۴۴	۷/۷	۰/۳۰	CL	۳۲/۲	۳۰/۶	۳۷/۲	1fsbk	2c CAN	۴۹-۹۰	Bk2
۱۳/۸	۱۹/۴	۱۴/۲	۱/۷۰	۷/۷	۰/۲۳	L	۳۵/۰	۳۲/۴	۱۵/۶	1fsbk	2c CAN,Cry-Gy	۹۰-۱۲۵	Bky
۲۴/۲	۱۳	۱۰/۶	۲/۶۰	۷/۸	۰/۲۳	L	۵۲	۲۲/۴	۱۵/۶	Massive	2c, Cry-Gy	۱۲۵-۱۵۰	By
خاکرخ شماره ۴: شب -۰/۰-۰/۲۰													
خاکرخ شماره ۵: شب -۰/۰-۰/۲۰													

گچ (CaSO ₄ . 2H ₂ O) ٪	کربنات کلسیم معادل (CCE) ٪	ظرفیت تبادل کاتیونی (CEC) cmol(+)/kg	قابلیت هدایت الکتریکی (EC) ds m ⁻¹	واکنش خاک (pH)	کربن آلی (OC) ٪	کلاس بافت	ستگریزه ٪			درصد ذرات رس سیلت شن	ساختمان*	تجمعات*	عمق (cm)	افق
							درصد ذرات رس سیلت شن	ساختمان*	تجمعات*					
-	۱۵/۱	۱۴/۴	۱/۱۷	۷/۸	۱/۲۶	CL	۳۵/۰	۳۷/۴	۲۷/۶	Fgr	-	۰-۲۵	Ap	
-	۱۹/۸	۱۷/۰	۱/۱۱	۷/۹	۰/۸۴	CL	۳۸/۸	۳۳/۲	۲۸/۰	1fsbk	1f CASP	۲۵-۴۴	Bw	
-	۲۶/۷	۲۵/۴	۰/۶۹	۸/۲	۰/۷۲	CL	۲۷/۸	۳۳/۶	۳۸/۶	2msbk	2c CAN	۴۴-۷۸	Bk1	
-	۲۷/۹	۲۶/۴	۰/۸۲	۸/۳	۰/۳۰	CL	۲۲/۸	۳۴۹/۲	۳۸/۰	2msbk	2c CAN	۷۸-۱۰۸	Bk2	
-	۳۰/۲	۲۶/۱	۰/۶۵	۸/۲	۰/۲۳	CL	۲۶/۴	۳۵/۲	۳۸/۴	Massive	-	۱۰۸-۱۵۰	C	

خاکرخ شماره ۵ شب ۱۰۰-۲۰۰ USDA: Aquic Calcixerpts, WRB: Haplic Calcisols ۱۰۰-۲۰۰

-	۱۵/۸	۱۹/۶	۱/۸۷	۷/۶	۱/۲	CL	۴۱	۲۵/۰	۳۵/۰	2fgr	-	۰-۱۳	Ap
-	۲۲/۳	۲۴/۲	۱/۶۵	۷/۹	۱/۶	CL	۳۶/۰	۲۷/۰	۳۷/۰	1fsbk	1f CAM	۱۳-۲۴	Bk
-	۲۸	۲۵/۵	۰/۸۶	۷/۹	۰/۷۴	CL	۳۰/۲	۳۱/۰	۳۸/۸	2msbk	2m CAN	۲۴-۴۷	Bkg1
-	۲۴/۷	۲۷/۰	۰/۷۱	۷/۹	۰/۶۰	CL	۳۰/۵	۳۰/۰	۳۹/۵	2msbk	2c CAN, 2c	۴۷-۷۹	Bkg2
-	۱۷/۵	۲۴/۸	۰/۶۴	۷/۸	۰/۴۱	CL	۲۸/۰	۳۲/۰	۴۰/۰	Massive	2c CAD, 2c	۷۹-۱۵۰	Cg

*کلاس‌های ساختمان خاک: درجه وضوح: ۱: ضعیف، ۲: متوسط- اندازه: f: کوچک، m: متوسط- نوع: abk: بلوکی زاویه دار sbk: بلوکی بدون زاویه، gr: دانه‌ای، کلاس‌های تجمعات کربنات و گچ: اندازه: ۱: کوچک، ۲: متوسط، ۳: بزرگ- فراوانی: f: کم (کم تر از ۰/۰۲)، c: متوسط (۰/۰۲-۰/۰۴)، m: زیاد (بیشتر از ۰/۰۴)- شکل: ss: آهک پودری، sf: آهک میسلیوم، N: گرهک، M: توهدای، D: پخش شده، CA: کربنات، Gy: گچ

*Soil structure classes: Grade- 2: moderate, 1: weak. Size- f: fin, m: medium. Typ-abk: angular blocky, gr: granular, ma: massive- carbonate concentration classes: m: many (>20 0/0), c: common (2-20 0/0), f: few (<2 0/0)- Size- 1: fin, 2: medium, 3: coarse. Shape- SS: powdery calcite, SF: pseudomycelium calcite, N: nodule, M: masses, D: disseminate, CA: carbonate, Gy: gypsum.

احتمالاً منافذ و گی در اثر تجمع آهک تشکیل شده‌اند. برخی از پژوهش‌گران نیز در بررسی‌های خود به نتایج مشابهی دست یافته‌اند (Akef et al., 2004; Chakherloo, 2016 and Manafi, 2016). در قسمت‌های مختلف ترانسکت نیز حفرات صفحه‌ای دیده شد (شکل ۵-ث). به نظر می‌رسد، وجود این حفرات را می‌توان به اثر انقباض و انبساط در خاک‌ها در نتیجه وجود کانی‌های ۱:۲ و تناوب خشکی و رطوبت و همچنین فعالیت جانوران خاک نسبت داد. کریمی دهکردی و همکاران (۱۳۹۳) در پژوهش‌های خود تشکیل حفرات صفحه‌ای را به وجود دوره تناوب خشکی و رطوبت در خاک‌ها مرتبط دانسته‌اند. همچنین بر اساس پژوهش‌های برور^۲ (۱۹۷۶) بودن منافذ کانالی در خاک‌های آهکی را می‌توان به فعالیت جانوران نسبت داد (شکل ۴-الف، پ، ت).

ریز ساختمان خاک: ریز ساختمان دیده شده به طور عمده در تمامی خاکرخ‌ها، از نوع مکعبی زاویه دار^۳ است که این امر بیانگر تکامل یافته‌گی کم تا متوسط خاک‌های

نتایج میکرومورفولوژی خاک

یکی از مهم‌ترین پدیده‌های میکرومورفولوژیک در خاک‌های آهکی وجود اشکال مختلف آهک است. بررسی مقاطع نازک نشان می‌دهد که پدوفیچرهای غالب آهک به صورت پوشش، هایپوکوتینگ، پرشدگی و نادول‌های آهکی هستند. از آنجایی که نتایج میکرومورفولوژیکی پروفیل‌های مطالعه شده کم و بیش همانند هم هستند، نتایج میکرومورفولوژیکی برخی افق‌ها از پدونهای مختلف در جدول (۳) ارائه شده است.

حفرات: در تمامی خاکرخ‌های مورد مطالعه منافذ به طور عمده از نوع وگ، صفحه‌ای و کanal^۱ می‌باشد (جدول ۳). نوع حفرات تقریباً در تمام خاکرخ‌ها یکسان، ولی از نظر مقدار متفاوت می‌باشند؛ که این مقدار روند خاصی را در خاکرخ‌ها نشان نمی‌دهد. حفرات و گی مانند (شکل‌های ۴-الف، ب و شکل ۵-ث) بیشترین فراوانی را در خاکرخ‌های مورد بررسی دارند که بیانگر تفاوت در هوا دیدگی کانی و آبسوی آن‌ها می‌باشد و با توجه به مقادیر فراوان کربنات کلسیم در خاک‌های منطقه

² Brewer

³ Angular blocky

¹ Channel

الف، ب). طول این سوزن‌ها بین ۲۰ تا ۳۰ میکرون و قطر ۱ تا ۲ میکرون بود. به عقیده رابن هورست^۸ و همکاران (۱۹۸۴) گذشت زمان و فشارهای ناشی از رشد کریستال-ها سبب تبدیل سوزن‌های آهکی به میکریت^۹ می‌شود. این پژوهش‌گران نیز به رشد آهک‌های سوزنی در حفرات و منافذ درشت و به صورت جهت یافته اشاره کرده‌اند. منشاء تشکیل این شکل آهک، کربناتی شدن و کربنات‌زادایی متواالی است. همچنین وجود گرهک‌های آهکی در خاک-های منطقه در اثر رسوب درجای کربنات در ریز ساختمان خاک می‌باشد. در افق Bkkm (خاکرخ یک) عوارض خاکساز به صورت کوتینگی از آهک اسپاریتی^{۱۰} در اطراف حفرات مشاهده شد که نشان دهنده تبلور مجدد آهک در این خاکرخ می‌باشد (شکل ۴-ب).

تجمع بلورهای عدسی شکل گچ: در بررسی مقاطع نازک مربوط به افق Bky خاکرخ سه واقع در فلات با ماده مادری گچی، گچ به صورت عدسی^{۱۱} شکل و صفحات درهم قفل شده^{۱۲} دیده شد (شکل ۴-ث، ج). تشکیل صفحات در هم قفل شده گچ در این افق در اثر حل شدن بلورهای عدسی شکل گچ می‌باشد. تحقیقی که کالیف^{۱۳} و همکاران (۲۰۲۱) در منطقه کارما در عراق اجرا کردند، وجود خوشهای آهکی و گچی و شکل‌های دوکی و کروی گچ در خاک‌های منطقه را در اثر حرکت، روش و نوع آب آبیاری در درون منافذ خاک بیان نمودند. رحیمی مشکله و همکاران (۱۳۹۸) در مطالعات خود در گیلان گزارش نمودند که نوع اقلیم منطقه، مقدار نمک، عمق خاک، مقدار و نوع رس روی نوع و شکل بلورهای تشکیل یافته از گچ تأثیرگذار است. مقبلی و همکاران (۱۳۹۸) در منطقه فاریاب استان کرمان وجود عوارض خاک‌ساخت گچ به شکل بلورهای عدسی شکل و صفحات در هم قفل شده گچ به دلیل پویایی بیشتر، به میزان زیادتری تحت تأثیر عوامل خاکساز از جمله موقعیت ژئومورفیک قرار گرفته است. همچنین در افق By

مورد بررسی می‌باشد. و الگوی توزیع اندازه ذرات (c/f) در تمامی خاکرخ‌های منطقه از نوع پورفیریک^۱ بود. بی فابریک: بی فابریک در این خاک‌ها عمدتاً کریستالیک^۲ و متشکل از بلورهای کلسیت و رس می‌باشد (شکل ۴-الف). این نوع بی فابریک شرایط مناسب برای رسوب سریع کربنات مانند خشکی مکرر، خروج سریع CO₂ از محلول خاک و یا هر دو را نشان می‌دهد. بنابراین به نظر می‌رسد این نوع فابریک در اثر انحلال و انتقال کربنات کلسیم و رسوب دوباره در افق‌های زیرین به وجود آمده باشد. نتایج مطالعات منافی^۳ (۲۰۱۰، ۲۰۱۲) در منطقه ارومیه، عاکف و همکاران (۱۳۸۲) در گیلان نشان داد که شستشوی آهک از سطح خاک به عمق خاک-رخ سبب ایجاد بی فابریک کریستالیک شده است. هم-چنین در بعضی از خاکرخ‌ها در افق Bkg (خاکرخ پنج) بی فابریک لکه‌ای^۴ دیده شد (شکل ۶-پ) که احتمالاً به دلیل حضور ناخالصی‌های اکسید آهن و منگنز به واسطه تغییر در شرایط اکسید و احیا ایجاد شده است. اولیایی (۱۳۹۱) تداوم تخلیه غیر یکسان آهک از مناطق مجاور (حفرات و کانال‌ها) را سبب نمایان شدن بی فابریک لکه‌ای ذکر نموده است.

تجمع‌های آهکی: در خاکرخ‌های مورد بررسی بارزترین عوارض خاکساز به صورت تجمع‌های آهکی دیده شد که به صورت گرهک‌های تیپیک^۵، پرشدگی و پوشش‌های آهکی می‌باشند (شکل ۴-الف-ب). در افق Bkk (خاکرخ یک) عوارض خاکساز به صورت گرهک‌های آهکی و بلورهای سوزنی شکل کلسیت دیده شد. این نوع کلسیت بیشتر در درون منافذ درشت تشکیل شده و به صورت پوشش‌هایی بر روی سطوح منافذ درشت، خاکدانه‌ها و ذرات اسکلتی حضور دارند (شکل ۴-الف). بر اساس پژوهش‌های ورکچیا^۶ و ورکچیا^۷ (۱۹۹۴) کلسیت‌های دیده شده در این خاکرخ از نوع MA با لبه‌های صاف و MB با لبه‌های دندانه‌دار است (شکل ۴-۳).

⁸ Rabenhorst

⁹ Micrite

¹⁰ Sparitic

¹¹ Lenticular

¹² Interlocked

¹³ Kalif

¹ Porphyric

² Crystallitic

³ Manafi

⁴ Speckled

⁵ Typic Nodul

⁶ Verrecchia

⁷ Verrecchia

آهک و بلورهای عدسی گچ را نیز به صورت تکی و دسته جمعی هستند، نشان می‌دهد (شکل ۵-ث، ج). تجمع‌های اکسیدهای آهن و منگنز در خاک‌رخ پنج (دشت دامنه‌ای) مقادیر زیادی از منقوطه‌های رنگی ناشی از شرایط اکسیداسیون و احیای آهن به صورت گرهک-هایی با قطر ۰/۱-۲ در ریز ساختمان خاک دیده شد که نشان‌دهنده شرایط رطوبتی بالا و نوسان آب زیرزمینی در منطقه است، (شکل ۶-ث). در حالت کلی، فعالیت زیستی ریشه، میکروارگانیسم‌ها و همچنین حضور مواد آلی با تغییرات pH خاک‌ها، در ایجاد حالت‌های اکسیداسیون و احیا در خاک‌ها و در نتیجه پیدایش و تجمع اکسیدهای آهن و منگنز نقش مهمی ایفا می‌کنند. اولیایی (۱۳۹۱) در بررسی خصوصیات میکرومورفولوژیکی اکسیدهای آهن و منگنز در خاک‌های استان کهگیلویه و بویراحمد، بیان نمودند که وجود عارضه‌های خاک‌ساز اکسید آهن و منگنز با میزان بارندگی، شرایط زهکشی، مواد مادری، فیزیوگرافی و ریز ساختمان خاک مرتبه می‌باشد.

همین خاک‌رخ عوارض خاک‌سازی نیز بیشتر شامل بلورهای یوهدرال تا ساب‌هدral گچ با اندازه‌های متفاوت در ماتریکس خاک به صورت پراکنده یا دسته‌جمعی دیده می‌شود که توسط آهک پوشیده شده‌اند. میکروگراف‌های میکروسکوپ الکترونی روشنی حضور توأمان گچ و آهک را در این خاک تائید می‌کند (شکل ۴-پ، ت). این خاک‌رخ دارای یک افق جیپسیک است که در آن تجمع آهک نیز مشهود است. با افزایش عمق و رسیدن به افق جیپسیک، از مقدار آهک کاسته شده و در افق گچی مقدار آن کاهش می‌یابد. وجود ذرات آهکی ریز به صورت کلسیت و یا پوشش‌های آهکی دیده شده درون حفرات و یا روی ذرات خاکی را می‌توان به وجود شرایط حد واسط، مراحلی که توسط گیله و همکاران (۱۹۶۶) در توضیح چگونگی تشکیل افق‌های کلسیک در خاک‌های ریزبافت ارائه گردیده، مشابه دانست. در افق گچی تجمع گچ بیشتر عدسی شکل گچ در این تصاویر منشأ پدوژنیک گچ را اثبات می‌کند. تصاویر میکرومورفولوژی گرههای

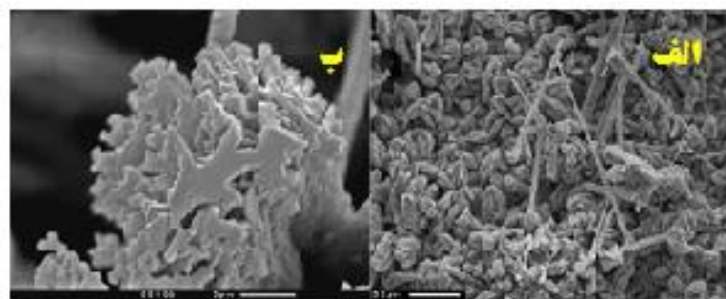
جدول ۲. برخی از ویژگی‌های میکرومورفولوژی خاک‌رخ‌های منطقه مطالعاتی

افق	عمق (cm)	میکروسکوپی	ساختمان	حرفات*	الگوی توزیع نسبی *	بی-فابریک*	عارض خاک ساخت
خاک‌رخ-۱-فلات آهکی							
Bkk	۲۳-۴۲	Ab	Vu, Ch	Po	Cry	b-Fabric	ncs, n,inf
Bkkm	۴۲-۹۰	Ab	Vu, Pn	Po	Cry	b-Fabric	typ(mic/spc), n
خاک‌رخ-۳-فلات گچی							
Bky	۹۰-۱۲۵	Ma	Vu,Pn	Po	Cry	b-Fabric	typ, n, gy
By	۱۲۵-۱۵۰	Ma	Vu	Po	Cry	b-Fabric	gy(len, int)
خاک‌رخ-۴-دشت دامنه‌ای							
Bw	۲۵-۴۴	Ab	Vu, Pn, Ch	Po	Cry	b-Fabric	Typ, n
Bk1	۴۴-۷۸	Ab	Vu, Pn, Ch	Po	Cry	b-Fabric	typ, n, nsc
خاک‌رخ-۵-دشت دامنه‌ای							
Bk	۱۳-۲۴	Ab, Gr	Vu, Pn, Ch	Po	Cry	b-Fabric	typ, dec
Bkg1	۲۴-۴۷	Ab	Vu, Pn, Ch	Po	Cry	b-Fabric	typ, n
Bkg2	۴۷-۷۹	Ab	Vu, Pn, Ch	Po	Cry, Spk	b-Fabric	n(fe/mn), dr, fr

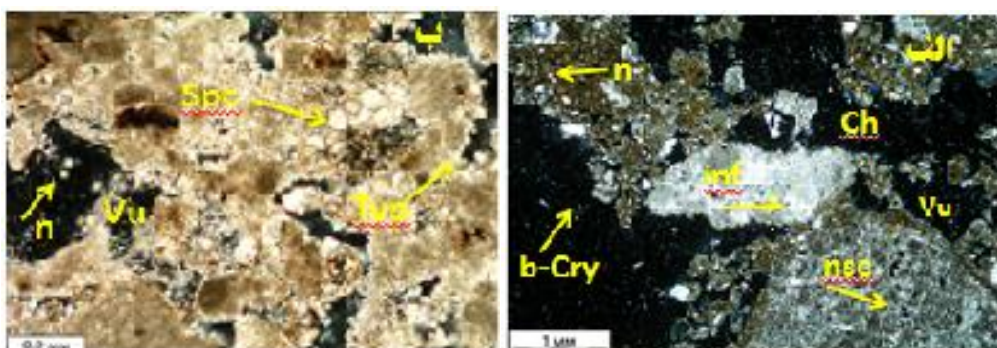
* ساختمان میکروسکوپی: Ab: مکعبی زاویدار، Gr: دانه‌ای، Ma: مکعبی زاویدار، Gr: دانه‌ای، Ma: قطبی، Po: پورفیریک-بی فابریک: Spk: لکمای، Cry: کریستالی-عارض خاک‌ساخت کربنات: Inf: پرشده‌گی کربنات، Typ: پوشش، Nsc: کلسیت سوزنی شکل، Spc: آهک اسپاریتی، Mic: آهک میکریتی، dec: مناطق تخلیه شده از آهک، N: Noduels، N(Fe/Mn): Fe/Mn Nodules, Inf: Calcite Infilling, Ncs: Needls-Shaped calcite, Spc: Sparitic calcite - Mic: Micritic calcite-gypsum pedofeatur: Len:Lenticular gypsum, Int: Interlocked gypsum, Dec: Depleted calcite, Dr: Decomposed organic residues, Fr: Feresh organic resudes

عدسی شکل گچ، Int: صفات درهم قفل شده گچ، dr: بقایای پوسیده ریشه، Fr: بقایای تازه ریشه.

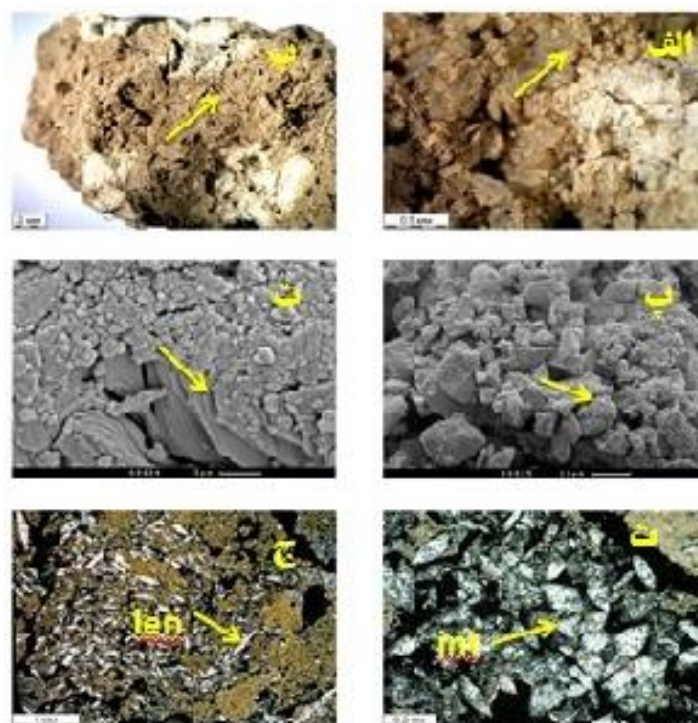
* Microscopic structur: Gr: Granual, Ab:Anguar blocky, Ma: Massive - Void: Ch: Channel, Vu: Vugh, Pn: Plane - C/F(related distribution pattern): Po: Porphyric - b-Fabric: Cery: Crystallitice, Spk: Speckled- carbonate pedofeatures: Typ: Typic cotaing, N: Noduels, N(Fe/Mn): Fe/Mn Nodules, Inf: Calcite Infilling, Ncs: Needls-Shaped calcite, Spc: Sparitic calcite - Mic: Micritic calcite-gypsum pedofeatur: Len:Lenticular gypsum, Int: Interlocked gypsum, Dec: Depleted calcite, Dr: Decomposed organic residues, Fr: Feresh organic resudes



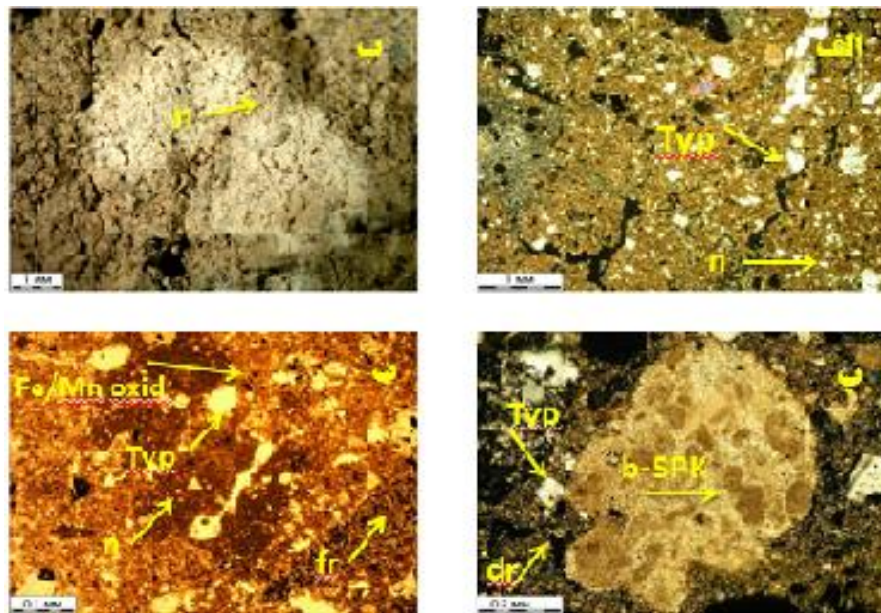
شکل ۳. کلسیت های مشاهده شده از نوع MA (الف) و از نوع MB (ب) در افق BKK



شکل ۴. تصاویر مقاطع نازک افق های Bkk و Bkkm برای خاکرخ یک: کلسیک سوزنی شکل (Ncr)، پرشدگی آهک درون حفرات (inf)، بی فابریک کریستالیک (b-Cry). (الف). در افق Bkk: آهک اسپاریتی (Spc)، گرهای تیپیک آهک (Typ). (ب). در افق Bkkm: حفرات از نوع وگ (Vu)، کاتال (Ch).



شکل ۵. تصاویر مزومورفولوژی (الف، ب)، میکرو گراف های میکروسکوپ الکترونی روبیشی (پ، ت) و مقاطع نازک (ث، ج) افق های Bky و By برای خاکرخ سوم: (الف، ب) بودن هم زمان آهک و گچ، آهک به صورت گره با اندازه مرز پخشیده و بلورهای ریز گچ در داخل حفرات، (پ، ت) پوشش آهک های ثانویه بر روی بلورهای ورقه ای گچ. تصاویر مقاطع نازک (ث، ج). گره های آهکی و بلورهای عدسی شکل گچ (len) به صورت منفرد و دسته جمعی و صفحات درهم قفل شده گچ (Int) در درون حفرات صفحه ای (Pn).



شکل ۶ تصاویر مقاطع نازک (الف، پ، ت) و مزمورفولوژی (ب) برای افق‌های Bk₁ (الف، ب) و Bkg₂ (پ، ت) برای خاک‌خ رخ پنج (الف، ب): مناطق تخلیه شده، مناطق تجمع آهک و گرهای آهکی در زمینه خاک و اطراف حفرات به حالت های پوکوتینگ، (پ): بی فابریک لکه‌ای (b-SPK)، (ت): گرهای آهکی به همراه اکسیدهای آهن و منگنز، ذرات درشت و کوتینگ‌ها به همراه مناطق تخلیه شده در افق‌های کلسیک با مرز مشخص گره، (پ، ت): تجمع فضولات جانوری

شده‌اند. بر اساس ویژگی‌های خاک‌خ رخ‌های مطالعه شده و وجود گچ پدوژنیک در خاک‌های منطقه و با توجه به اهمیت افق جیسیک در سیستم طبقه‌بندی خاک و تأثیر مهم آن بر رشد گیاهان، می‌توان پیشنهاد کرد که گروه بزرگی تحت عنوان Gypsicerepts در خاک‌های اینسپتی-سوال در سیستم ردیبندی تاکسونومی ایجاد شود که دارای افق جیسیکی در محدوده ۱۰۰ سانتی‌متری می‌باشد که مرز فوکانی آن در ۱۰۰ سانتی‌متری سطح خاک قرار گرفته است. نتایج پژوهش، حاکی از آن است که موقعیت مختلف فیزیوگرافی در منطقه، نقش قابل توجهی در تغییر ویژگی‌های فیزیکی، شیمیایی، میکرومورفولوژی خاک داشته‌اند و بنا بر این تشکیل و طبقه‌بندی خاک‌های منطقه را تحت تأثیر قرار داده‌اند.

نتیجه‌گیری کلی

بر اساس مشاهدات مورفولوژیکی و مطالعات آزمایشگاهی و با توجه به جوان بودن خاک‌های منطقه، دو عامل مواد مادری و توپوگرافی از مهم‌ترین فاکتورهای تأثیرگذار بر تشکیل و تکامل خاک‌ها در منطقه نیمه‌خشک الشتر شناسایی شدند. مهم‌ترین فرآیندهای پدوژنیک در خاک‌های منطقه مورد مطالعه انتقال و آبشویی کربنات‌ها، گچ و ویژگی‌های ردیکسی مورفیک بودند. بررسی مقاطع نازک برای خاک‌های منطقه نشان داد که کربنات کلسیم فراوان در این خاک‌ها سبب ایجاد بی‌فابریک کریستالیک شده است. حفرات از نوع وگی، صفحه‌های و کانالی که توسط عوارض خاک‌ساز مانند پوشش‌های آهکی، آهک‌های سوزنی شکل و گرهای آهکی و تجمعات گچی به صورت صفحات درهم قفل شده گچ پوشیده

Reference:

- Akef, M., Mahmoudi, Sh., Karimian Eghbal, M., & Sarmadian, F. (2004). Physico-Chemical and Micro-Morphological Changes in Paddy Soils Converted from Forest in Foomanat Region, Gilan. *J. Naturalrest.* 56(4), 407-423. [In Persian].
- Bahoorzehi, M. A., Farpoor, M. H., Jafari, A. (2015). Genesis and Development of Soils along Different Geomorphic Surfaces in Kouh Birk Area, Mehrestan City, *Journal of Water and Soil*, 30(2), 555-568. (In Farsi).
- Banaei, M. H. (1998). Soil Moisture and Temperature Regime Map of Iran. Soil and Water Research Institute. Ministry of Agriculture, Iran.
- Brewer, R. (1976). Fabric and Mineral Analysis of Soils. Robert E. Krieger Pub. Co, New York. 482p.
- Buck, B.J., & Van Hoesen, J.G. (2002). Snowball morphology and SEM analysis of pedogenic gypsum, sothern New Mexico. *Journal of Arid Environment*, 51:469-487.
- Buol, S.W., Southard, R.J., Graham, R.C., & McDaniel, P.A. (2003). *Soil Genesis and Classification*. Fifth Edition. Iowa State Press.
- Chakherloo, S., Manafi, Sh. (2016). Micromorphologic Study of Pores and Porosity of Some Saline-Sodic Soils i n the West of Urmia Lake using Image Analysis. *Journal of Water and soil knowledge*, 26(1), 131 of 143.[in Persian]
- Chapman, H.D. (1965). Cation exchange capacity. In: Black, C.A. (Ed.), *Methods of Soil Analysis Part 2*. American Society of Agronomy, Madison, WI, 891–901.
- Etedali Dehkordi, S., Abtahi, A., Salehi, M.H., Givi, J., Farpoor, M.H., & Baghernejad, M. (2018). Studying of the formation and development of soils in a toposequence in Chelgerd region, Chaharmahal-va-Bakhtiari province. *Journal of Soil Management and Sustainable Production*, 7(4), 45-64. (In Persian).
- Gee, G.W., & Bauder, J.W. (1986). Particle-size analysis. In: Klute, A. (Ed.), *Methods of Soil Analysis. Part 1, Physical and Mineralogical Methods*, Soil Science Society of American Society of Agronomy, Madison, WI, 383–411.
- Geological Survey website. (2012). <http://www.gsi.ir>
- Gile, L.H., Peterson, F.F., & Grossman, R. B. (1966). Morphological and genetic sequences of carbonate accumulation in desert soils. *Soil Science*, 101(5): 347-360.
- Gouid, A. (2004). *Encyclopedias of Geomorphology* (Vol.2).Psychology Prees.
- Graham, R.C., & Boul, S.W. (1990). Soil-geomorphic relations on the Blue Ridge Front. II. Soil characteristics and pedogenesise. *Soil Scienc Society of American Journal*, 54:1188-1194.
- Imadojemo, P.E., Osugieke, D.N., & Obasi, S.N. (2017). Evalution of Fadama soil along a toposequence proximal to river Donga in wukari area of northeast Nigeria. *International Journal of agriculture and rural development*, 20(2): 3150-3158.
- IUSS Working Group. (2015). World Reference Base for Soil Resources 2014, update 2015 International soil classification system for naming soils and creating legends for soil maps. *World Soil Resources Reports No. 106*: 192.
- Jafari M., & Sarmadian F. (2005). *Fundamentals of Soil Science and Soil Taxonomy*. Tehran University Press.
- Jafari, S., & Nadian, H. (2014). The study of a toposequence soil series and clay mineral assemblage in some soils of Khuzestan province. *Journal of water and soil science*, Isfahan University of Techonlogy, 18(69). 151-164. [In Persian].
- Kalif, B.H., & Mniam Hassn, M.A. (2021). Micromorphology of Gypsum Soil on Karma Island in Al-Anbar Governorate. *Soil and Water Resources*, College of Agriculture, Univercity AL-Anbar, Iraq. 25(4):6796-6806.
- Karimi Dehkordi, F., Jalalian, A., Mehnatkesh A.M., and Honarjoo, N. 2014. The effect of land use change on mineralogy and micro-morphological properties of clay soil on Lordegan County- in Chaharmahal and Bakhtiari Province. *J. Soil Manage. Sust. Prod.* 4: 3. 1-32.(In Persian with English abstract)
- Kemp, R.A., Tomas, P.S., Sayago, J.M., Debbyshire, King, E.M., & Wanger, L. (2003). Micromorphology OSL dating of the basalt part of the loess-paleosol sequence at La Mesuda in Tucuman province, northwest Argentina. *Qualt. Intl.* 106-107: 111-117.
- Khormali, F., and Abtahi, A. 2003. Origin and distribution of clay minerals in calcareous arid and semi-arid soils of Fars Province, Southern Iran. *Clay MINERALS*. 38: 511-527. [In Persian with English abstract].
- Manafi, Sh. (2010). Calcium carbonate pendants as a record of climate change in semiarid soil of Rashkan region, Urmia, Iran. *Soil Ssience, Agrochemistry and Ecology*, 14(4): 11-16.
- Manafi, Sh. (2012). Micromorphic evidences of climate change in some arid and semi arid soils in the west of Urmia Lake, Western Azerbaijan, Iran. *Proceedings of the 14th International Working Meeting on Soil Micromorphology*, 8(14).
- Maniyunda, L.M., & Gwari, M.G. (2014). Soil development on a toposequene on Loessial deposit Northern Guinea, Savana, Nigeria. *ARPN Journal of Agricultural and Biological Science*, 9(3):110-116.
- Nazari N. (2003). Morphological and Physiochemical Properties and Mineralogy of Soils and their Genesis and Classification along a Toposequence in RejeinArea of Mianeh, East Azarbaijan Province. MSc Dissertation, Faculty of Agriculture, Department of Soil Science, University of Shiraz. (in Persian with English abstract)

- Nelson, D.W., & Sommers, L.E. (1982) . Total carbon, organic carbon, and organic matter. In: Page, A.L. (Ed.), Methods of Soil Analysis, Part 2. American Society of Agronomy, Madison.WI, 539–579.
- Owliae H.R. 2012. Micromorphology of calcitic features in calcareous soils of Kohgilouye Province, Southwestern Iran. Journal of Agricultural Science and Technology 14: 225- 239.
- Owliae, H.R., Najafi Ggiri, M., & Shakeri, S. (2018). Soil-landscape relationship as indicated by pedogenesisdata on selected soils from Southwestern, Iran. Eurasian Journal Soil Science, 7(2):167-180.
- Pashaei, L., Manafi, Sh. (2016). Investigation of physical, chemical and mineralogical properties of gypsum soils in northern Urmia. Journal of Soil Applied Research, 4 (2).
- Rabenhorst, M.C., Wilding, L. P., & West, L. T. (1984). Identification of Pedogenic Carbonates using Stable Carbon Isotope and Microfabric Analyses 1. Soil Science Society of America Journal, 48(1): 125-132.
- Rahimi Mashkaleh, M., Ramezanpour, H., Yaghmaeian Mahabadi, N., & Norouzi, M. (2019). Micromorphological study of gypsum and calcium carbonate features and clay mineralogy in soils with different parent material in south of Guilan province. Applied Soil Research, 7(1): 132-147.[in Persian].
- Shiau, Y.J., Pai, Ch.W. T., sai, J., Liu, W.Ch., Yam, R.S.W., Chang, I.Sh., Ch. Tang, S.L. and Chiu, Ch.Y. (2018). Characterization of Phosphours in a Toposequence of Subtropical Perhumid Forest Soils Facing a Subalpine Lake. Forest, 9(249):1-14.
- Soil Survey Staff. (2014). Keys to Soil Taxonomy. United States Department of Agriculture and Natural Resources Conservation Service, 332p.
- Stoops, G. (2003). Guidelines for the analysis and Description of soil and Regolith Thin sections.SSSA. Madison, WI, 170p.
- Van Wambeke, A.R. (2000). The Newhall Simulation Model for estimating soil moisture and temperature regimes. Department of Cornell University, Ithaca, YN.USA.
- Verrecchia, E.P., & Verrecchia, K. E. (1994). Needle-fiber calcite; a critical review and a proposed classification. Journal of Sedimentary Research, 64(3a): 650-664.
- Walkly, A., & Blaack, I.A. (1934). An examination of the digestion metod for determination soil organic matter and proposal modification of the chromic acid titration method. Soil Science, 37:29-38



Print ISSN: 2251-7480
Online ISSN: 2251-7400

Journal of
Water and Soil
Resources Conservation
(WSRCJ)

Web site:
<https://wsrcj.srbiau.ac.ir>

Email:
iauwsrjc@srbiau.ac.ir
iauwsrjc@gmail.com

Vol. 11
No. 4
Summer 2022

Received:
2021-06-14

Accepted:
2021-10-25

Pages: 1-14



Investigation of some Soil Physico-Chemical along with Micromorphological Properties with Calcareous and Gypsiferous Parent Materials in Different Landscaping Units

(Case study: Lorestan province, Alashtar)

Kolsoum Rahman Salari ¹, Mohamad Amir Delavar ², Mehrdad Esfandyari ^{3*} and Ebrahim Pazira ⁴

- 1) PhD Student, Soil Genesis and Classification, Faculty of Agriculture and Natural Resources, Science and Research Branch, Islamic Azad University, Tehran, Iran.
- 2) Associate Professor, Department of Soil Science, Faculty of Agriculture, University of Zanjan, Zanjan, Iran.
- 3) Professor, Department of Soil Science, Faculty of Agriculture and Natural Resources, Science and Research Branch, Islamic Azad University, Tehran, Iran.
- 4) Professor, Department of Soil Science, Faculty of Agriculture and Natural Resources, Science and Research Branch, Islamic Azad University, Tehran, Iran.

*Corresponding author email: mehrdadesfandiari8@gmail.com

Abstract:

Background and Objectives: The optimum and sustainable use of soil is only possible with a correct and complete understanding of its properties. This study was conducted to investigate of should be omitted some physical, chemical, and micromorphology properties of soil formed on the should be added landscapes in the should be added semi-arid region of Lorestan province.

Materials and Methods: For this study 5 profiles, a long, a should be omitted transect in the direction of slop (plateau, gravelly colluvial fan and pediment plain) were identified in the area, and divided into different physiographic unit based on the type of parent material. At each, physiographic units a profil was excavated, dissected sampled. Physicochemical together with micromorphological observations performed and Soil Taxonomy and WRB were used for soil classification.

Results: The results showed that should be omitted low amounts of organic carbon in the surface and depths of the soil due to the high rate of decomposition of these substances in these areas. The equivalent calcium carbonate in all profiles showed an increasing trend with depth. Thin section investigation showed that there was not much difference between the horizons in terms of the type of voids and the relative distribution of large particles (C/F). Planar, vugh and cannel voids were the most dominant voids of the profiles. Accumulation of calcite was seen in various forms such as coating, infilling, needle- shaped calcite, and nodules calcite which indicates that secondary calcite, and caused a should be omitted crystallite calcite of kind b-fabric. Soil structure in most the horizons of kind angular blocky and sub angular blocky. Also, lenticular plates gypsum was observed on the Bky horizon on the of the gypsum physiographic units plateau. According According to the existence of pedogenic gypsum in the soils of the region, and the important of the gypsum horizon in the soil classification system and its important effect on plant growth. New great groups, and subgroups of Xerepts (Gypsic Calcixerpts) are suggested to be included in soil taxonomy.

Conclusion: Results of the study showed raise in topography and parent material on the variability of soil properties in the area.

Keywords: Physiographic units, Gypsum and calcareous soils, Micromorphology, Pedogenic Effects